



Carricante Bianco B

Ansaldi G., Barbagallo M. G., Brancadoro L., De Lorenzis G., Di Lorenzo R., Falco V., Fici G., Gagliano F., Marino G., Monteleone G., Pisciotta A., Scienza A., 2015. Carricante Bianco (Biotipo B). in: Italian Vitis Datababase, www.vitisdb.it. ISSN 2282-006X

release 16/07/2015, ultimo aggiorn. 18/01/2016 url <http://vitisdb.it/accessions/show/16500>

Informazioni gestite da

Regione Siciliana - Assessorato delle Risorse Agricole e Alimentari - Dip. Interventi Infrastrutturali per l'Agricoltura - Centro per l'Innovazione della Filiera Vitivinicola UOS Marsala
Dipartimento di Scienze Agrarie ed Ambientali - Università degli Studi di Milano
Dipartimento di Scienze Agrarie e Forestali - Università degli Studi di Palermo

Ringraziamenti

Regione Sicilia, Ager Foundation

Informazioni generali

nome Carricante Bianco B **codice** ITA430-67/1
nazione di selezione Italia **regione di selezione** Sicilia
provincia di selezione Catania **località di selezione** non disponibile
istituzione custode Regione Siciliana - Assessorato delle Risorse Agricole e Alimentari - Dip. Interventi Infrastrutturali per l'Agricoltura - Centro per l'Innovazione della Filiera Vitivinicola UOS Marsala
collezione Biesina - Marsala

Varietà & clone

tipo di origine spontanea **genere** Vitis
specie Vitis vinifera **sub specie** sativa
varietà Carricante **codice della varietà** IVD-var_351
clone non disponibile
trueness to type accertato con rilievi morfologici e microsatelliti

Trueness to type

True-name

confermato **si**

►bibliografia correlata (1)

| autori | anno | titolo | rivista | citazione |
|---|------|--|---------|--|
| Ansaldi G., Cartabellotta D., Falco V., Gagliano F., Scienza A. | 2014 | Identità e ricchezza del Vigneto Sicilia | | REGIONE SICILIANA Assessorato Regionale dell'Agricoltura, dello Sviluppo Rurale e della Pesca Mediterranea |

Trueness to type accertato con rilievi morfologici (ampelografici)

accertamento con rilievi morfologici (ampelografici) **accertato**

►bibliografia correlata (1)

| autori | anno | titolo | rivista | citazione |
|------------------------|------|---------------|---------|---|
| Mazzei A. e Zappala A. | 1964 | Il Carricante | | Principali vitigni da vino coltivati in Italia - Volume III, Ministero dell'Agricoltura e delle Foreste |

Trueness to type accertato con microsatelliti

accertamento con microsatelliti **accertato**

►bibliografia correlata (1)

| autori | anno | titolo | rivista | citazione |
|---|------|---|------------------------|--------------|
| De Lorenzis G., Las Casas G., Brancadoro L., Scienza A. | 2014 | Genotyping of Sicilian grapevine germplasm resources (V. vinifera L.) and their relationships with Sangiovese | Scientia Horticulturae | 169: 189-198 |

loci confrontati **n.d.**

loci identici **n.d.**

discrepanze

n.d.

Profilo microsatellite standardizzato

| loci: | loci predefiniti (9) | | | | | | | | | | | | | | | | | |
|-------------|------------------------|-----|-------|-----|-------|-----|--------|-----|---------|-----|---------|-----|--------|-----|--------|-----|--------|-----|
| locus SSR: | VVS2 | | VVMD5 | | VVMD7 | | VVMD27 | | VrZAG62 | | VrZAG79 | | VVMD25 | | VVMD28 | | VVMD32 | |
| allele: | A1 | A2 | A1 | A2 | A1 | A2 | A1 | A2 | A1 | A2 | A1 | A2 | A1 | A2 | A1 | A2 | A1 | A2 |
| dimensione: | 133 | 133 | 225 | 235 | 239 | 249 | 179 | 185 | 194 | 196 | 251 | 259 | 240 | 242 | 247 | 252 | 253 | 257 |

Immagini



germoglio



foglia



grappolo



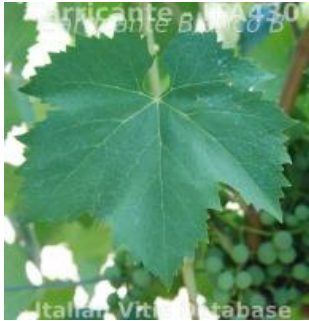


acino



vinacciolo

Ampelografia

| OIV | descrizione | valore | | immagini |
|-----|--|---------|--------------------------|----------|
| 001 | Giovane germoglio: apertura dell'apice | 5 | completamente aperto | |
| 003 | Giovane germoglio: intensità della pigmentazione antocianica dei peli striscianti dell'apice | 1 | nulla o molto bassa | |
| 004 | Giovane germoglio: densità dei peli striscianti dell'apice | 5 | media | |
| 005 | Giovane germoglio: densità dei peli eretti dell'apice | 5 | media | |
| 006 | Germoglio: portamento (prima della legatura) | 1 | eretto | |
| 007 | Germoglio: colore del lato dorsale degli internodi | 1 (Ø 3) | verde | |
| 008 | Germoglio: colore del lato ventrale degli internodi | 1 | verde | |
| 016 | Germoglio: numero di viticci consecutivi | 1 | 2 o meno | |
| 051 | Foglia giovane: colore della pagina superiore del lembo (4 a foglia) | 1 / 2 | verde / giallo | |
| 053 | Foglia giovane: densità peli striscianti tra le nervature principali della pagina inferiore (4a foglia) | 7 | elevata | |
| 065 | Foglia adulta: dimensione del lembo | 5 | medio | |
| 067 | Foglia adulta: forma del lembo | 3 / 2 | pentagonale / cuneiforme | |
| 068 | Foglia adulta: numero dei lobi | 2 / 3 | tre / cinque | |
| 069 | Foglia adulta: colore della pagina superiore del lembo | 7 | verde scuro | |
| 071 | Foglia adulta: distribuzione della pigmentazione antocianica delle nervature principali della pagina inferiore del lembo | 1 | assente | |
| 072 | Foglia adulta: depressioni del lembo | 3 | deboli | |
| 074 | Foglia adulta: profilo del lembo in sezione trasversale | 2 (Ø 5) | a V | |
| 075 | Foglia adulta: bollosità della pagina superiore del lembo | 1 | nulla o molto bassa | |

| | | | | |
|-------|--|-------|---|---|
| 076 | Foglia adulta: forma dei denti | 5 / 4 | misto tra entrambi i lati rettilinei (livello 2) e entrambi i lati convessi (livello 3) / un lato concavo, un lato convesso |  |
| 079 | Foglia adulta: grado di apertura / sovrapposizione dei bordi del seno peziolare | 7 | sovrapposto | |
| 080 | Foglia adulta: forma della base del seno peziolare | 3 / 1 | a V / a U | |
| 081-1 | Foglia adulta: denti del seno peziolare | 1 | assenti | |
| 081-2 | Foglia adulta: base del seno peziolare delimitata dalla nervatura | 1 | non delimitata | |
| 083-2 | Foglia adulta: denti nei seni laterali superiori | 1 | assenti | |
| 084 | Foglia adulta: densità dei peli striscianti tra le nervature principali sulla pagina inferiore del lembo | 7 | elevata | |
| 087 | Foglia adulta: densità dei peli eretti sulle nervature principali della pagina inferiore del lembo | 1 | nulla o molto bassa | |
| 093 | Foglia adulta: lunghezza del picciolo in rapporto alla lunghezza della nervatura mediana | 5 | uguale | |
| 094 | Foglia adulta: profondità dei seni laterali superiori | 5 | medio | |
| 151 | Fiore: organi sessuali | 3 | stami completamente sviluppati e gineceo completamente sviluppato |  |
| 202 | Grappolo: lunghezza (escluso il peduncolo) | 5 / 7 | medio / lungo | |
| 204 | Grappolo: compattezza | 3 | spargolo | |
| 208 | Grappolo: forma | 2 | conico | |
| 209 | Grappolo: numero di ali del grappolo principale | 2 | 1 - 2 ali | |
| 220 | Acino: lunghezza | 5 | medio |  |
| 221 | Acino: larghezza | 5 | medio | |
| 223 | Acino: forma | 3 | ellissoidale largo | |
| 225 | Acino: colore della buccia | 1 | verde giallo | |
| 231 | Acino: intensità della pigmentazione antocianica della polpa | 1 | nulla o molto debole | |
| 236 | Acino: particolarità dell'aroma | 1 | nessuna | |
| 241 | Acino: sviluppo dei vinaccioli | 3 | completo | |

Ampelometria

OIV

| OIV | PDF | descrizione | valore |
|-----|-----|--|--------------|
| 601 | PDF | Foglia adulta: lunghezza della nervatura N1 | (Ø 114.15) |
| 602 | PDF | Foglia adulta: lunghezza della nervatura N2 | (Ø 104.25) |
| 603 | PDF | Foglia adulta: lunghezza della nervatura N3 | (Ø 78.52) |
| 604 | PDF | Foglia adulta: lunghezza della nervatura N4 | (Ø 48.41) |
| 605 | PDF | Foglia adulta: distanza dal seno peziolare al seno laterale superiore | (Ø 67.82) |
| 606 | PDF | Foglia adulta: distanza dal seno peziolare al seno laterale inferiore | (Ø 59.24) |
| 607 | PDF | Foglia adulta: angolo tra N1 e N2 misurato alla prima biforcazione | (Ø 61.85) |
| 608 | PDF | Foglia adulta: angolo tra N2 e N3 misurato alla prima biforcazione | (Ø 55.64) |
| 609 | PDF | Foglia adulta: angolo tra N3 e N4 misurato alla prima biforcazione | (Ø 61.67) |
| 610 | PDF | Foglia adulta: angolo tra N3 e la tangente tra il punto peziolare e l'estremità N5 | (Ø 74.59) |
| 611 | PDF | Foglia adulta: lunghezza della nervatura N5 | (Ø 22.34) |
| 612 | PDF | Foglia adulta: lunghezza del dente di N2 | (Ø 15.07) |
| 613 | PDF | Foglia adulta: larghezza del dente di N2 | (Ø 14.91) |
| 614 | PDF | Foglia adulta: lunghezza del dente di N4 | (Ø 9.32) |
| 615 | PDF | Foglia adulta: larghezza del dente di N4 | (Ø 11.46) |
| 617 | PDF | Foglia adulta: distanza tra l'estremità di N2 e l'estremità della prima nervatura secondaria di N2 | (Ø 52.57) |
| 618 | PDF | Foglia adulta: apertura/sovrapposizione del seno peziolare | (Ø -9.81) |

Superampelo

| descrittore | distanze | |
|---|----------|---------------------|
| | valore | deviazione standard |
| Distanza dal seno peziolare al seno inferiore sinistro | 58.880 | 6.570 |
| Distanza dal seno peziolare al seno inferiore destro | 59.590 | 7.050 |
| Distanza dal seno peziolare al seno superiore sinistro | 68.910 | 10.760 |
| Distanza dal seno peziolare al seno superiore destro | 66.720 | 11.690 |
| Nervatura N3', lunghezza dal seno peziolare alla nervatura N4' | 11.500 | 2.280 |
| Nervatura N3, lunghezza dal seno peziolare alla nervatura N4 | 11.540 | 2.190 |
| Lunghezza della nervatura N5' | 22.630 | 4.360 |
| Lunghezza della nervatura N5 | 22.040 | 4.060 |
| Lunghezza della nervatura N4' | 48.140 | 6.910 |
| Lunghezza della nervatura N4 | 48.670 | 6.890 |
| Distanza tra punto peziolare ed estremità della nervatura N4' | 56.740 | 7.910 |
| Distanza tra punto peziolare ed estremità della nervatura N4 | 56.950 | 7.680 |
| Lunghezza della foglia | 169.040 | 19.180 |
| Larghezza della foglia | 162.360 | 20.070 |
| Lunghezza della foglia compreso il picciolo | 218.810 | 27.070 |
| Lunghezza del picciolo | 104.660 | 18.200 |
| Lunghezza della nervatura N1 | 114.150 | 13.340 |
| Distanza tra gli estremi delle nervature N2 e N2' | 158.320 | 22.760 |
| Distanza tra gli estremi delle nervature N3 e N3' | 151.970 | 16.270 |
| Distanza tra gli estremi delle nervature N4 e N4' | 45.510 | 17.210 |
| Larghezza del seno peziolare / Distanza tra i punti SP e SP' | -9.810 | 5.170 |
| Lunghezza della nervatura N2 | 104.970 | 12.240 |
| Lunghezza della nervatura N2' | 103.520 | 10.850 |
| Lunghezza della nervatura N3 | 79.130 | 9.010 |
| Lunghezza della nervatura N3' | 77.900 | 8.910 |
| Distanza tra estremità di N2 e estremità della prima ramificazione laterale di N2 | 52.510 | 13.410 |
| Distanza tra estremità di N2' e estremità della prima ramificazione laterale di N2' | 52.620 | 10.680 |

| angoli | | |
|---|--------|---------------------|
| descrittore | valore | deviazione standard |
| Angolo tra N1 e N2 misurato alla prima biforcazione | 61.140 | 6.060 |
| Angolo tra N1 e N2' misurato alla prima biforcazione | 62.550 | 5.890 |
| Angolo tra N2 e N3 misurato alla prima biforcazione | 55.330 | 6.070 |
| Angolo tra N2' e N3' misurato alla prima biforcazione | 55.950 | 4.790 |
| Angolo tra N3 e N4 alla prima biforcazione di N3 | 60.540 | 4.980 |
| Angolo tra N3' e N4' | 62.800 | 5.270 |
| Angolo tra N1 e N2 misurato agli estremi delle nervature | 49.270 | 6.440 |
| Angolo tra N1 e N2' misurato agli estremi delle nervature | 49.530 | 4.620 |
| Angolo tra N2 e N3 misurato agli estremi delle nervature | 53.250 | 7.710 |
| Angolo tra N2' e N3' misurato agli estremi delle nervature | 53.280 | 6.270 |
| Angolo tra N3 e N4 misurato agli estremi delle nervature | 54.530 | 7.650 |
| Angolo tra N3' e N4' misurato agli estremi delle nervature | 52.890 | 6.030 |
| Angolo di apertura del seno peziolare misurato a SP e SP' | 24.000 | 15.940 |
| Angolo tra D e D' con centro in N1 | 97.200 | 8.390 |
| Angolo tra S e S' con centro in N1 | 67.950 | 11.570 |
| Angolo tra I e I' con centro in N1 | 52.310 | 4.960 |
| Angolo tra N3 e la tangente tra il punto peziolare e l'estremità N5 | 80.850 | 11.640 |
| Angolo tra N3' e la tangente tra il punto peziolare e l'estremità N5' | 81.920 | 8.850 |

| rapporti | | |
|--|--------|---------------------|
| descrittore | valore | deviazione standard |
| Media della base dei denti del lato sinistro | 12.710 | 2.670 |
| Media dell'altezza dei denti del lato sinistro | 11.870 | 3.670 |
| Media della base dei denti del lato destro | 13.670 | 3.130 |
| Media dell'altezza dei denti del lato destro | 12.540 | 3.470 |
| Rapporto tra l'altezza e la base del dente all'estremità della nervatura N4' | 0.800 | 0.150 |
| Rapporto tra l'altezza e la base del dente all'estremità della nervatura N4 | 0.820 | 0.140 |
| Rapporto tra l'altezza e la base del dente all'estremità della nervatura N2' | 0.990 | 0.180 |
| Rapporto tra l'altezza e la base del dente all'estremità della nervatura N2 | 0.950 | 0.210 |
| Rapporto tra la somma degli angoli a' + b' e la somma della distanza tra il seno peziolare e il seno superiore sinistro OS' e il seno peziolare e il seno inferiore sinistro OI' | 0.020 | 0.000 |
| Rapporto tra la somma degli angoli a + b e la somma della distanza tra il seno peziolare e il seno superiore destro OS e il seno peziolare e il seno inferiore destro OI | 0.020 | 0.000 |
| Rapporto tra la lunghezza della nervatura N5' e la lunghezza della nervatura N1 | 0.200 | 0.040 |
| Rapporto tra la lunghezza della nervatura N5 e la lunghezza della nervatura N1 | 0.190 | 0.030 |
| Rapporto tra la lunghezza della nervatura N4' e la lunghezza della nervatura N1 | 0.420 | 0.060 |
| Rapporto tra la lunghezza della nervatura N4 e la lunghezza della nervatura N1 | 0.430 | 0.050 |
| Rapporto tra la lunghezza della nervatura N3' e la lunghezza della nervatura N1 | 0.690 | 0.080 |
| Rapporto tra la lunghezza della nervatura N3 e la lunghezza della nervatura N1 | 0.700 | 0.070 |
| Rapporto tra la lunghezza della nervatura N2' e la lunghezza della nervatura N1 | 0.910 | 0.070 |
| Rapporto tra la lunghezza della nervatura N2 e la lunghezza della nervatura N1 | 0.920 | 0.050 |
| Rapporto tra la distanza dal seno peziolare al seno inferiore sinistro OI' e la lunghezza della nervatura N3' | 0.760 | 0.050 |
| Rapporto tra la distanza dal seno peziolare al seno inferiore destro OI e la lunghezza della nervatura N3 | 0.750 | 0.060 |
| Rapporto tra Lunghezza e larghezza della foglia | 1.040 | 0.060 |
| Rapporto tra la lunghezza del picciolo OP e la lunghezza della nervatura N1 | 0.920 | 0.150 |
| Rapporto tra la distanza dal seno la lunghezza della nervatura N2 | 0.640 | 0.090 |
| Rapporto tra la distanza dal seno peziolare la lunghezza della nervatura N2' | 0.670 | 0.080 |